

具有非对称高斯反射率相位共轭光腔的基模

林 强 陆璇辉 王绍民

(杭州大学物理系)

提要: 由高斯光束泵浦的四波混频相位共轭反射镜(PCM)具有横向高斯分布的反射率。这种分布是空间非对称的。本文给出这种 PCM(包括自泵浦情况)的光束变换矩阵, 把它用于自泵浦相位共轭光腔的分析, 得出腔内振荡是椭圆高斯光束的结论。

Fundamental modes of phase-conjugate resonators with asymmetric Gaussian reflectivities

Lin Qiang, Lu Xuanhui, Wang Shaomin

(Department of Physics, Hangzhou University, Hangzhou)

Abstract: A four-wave mixing phase-conjugator pumped by a Gaussian beam has a reflectivity with asymmetric lateral Gaussian distribution. Beam transfer matrices for this phase-conjugate mirror(PCM)(including self-pumped cases)are presented. Applying these matrices to PCRs, it is concluded that an elliptical Gaussian beam oscillates within the cavity.

一、引言

由四波混频形成的相位共轭镜(PCM)具有波前反转能力。但由于泵浦光一般采用高斯光束, 使 PCM的反射率具有横向分布, 这相当于在 PCM上放置了一个高斯光阑^[1]。基于这样的考虑, 文献[2]定义了带有高斯光阑的 PCM 的光束变换矩阵

$$\begin{pmatrix} 1 & 0 \\ -\frac{2}{\rho_i} - \frac{i\lambda}{\pi\sigma^2} & 1 \end{pmatrix} \quad (1)$$

其中 ρ_i 是入射光束的波前曲率半径, σ 为泵浦光在非线性介质内的光斑尺寸。把(1)用

于分析相位共轭光腔(PCR), 在弱高斯光阑近似($\sigma \rightarrow \infty$)下, 得出了 PCR 的基模。文献[3]又定义了自泵浦情况下 PCM 的变换矩阵

$$\begin{pmatrix} 1 & 0 \\ -\frac{2}{\rho_i} - \frac{i\lambda}{\pi W_i^2} & 1 \end{pmatrix} \quad (2)$$

其中 ρ_i 、 W_i 分别为入射光束的波前曲率半径和光斑尺寸。(1)、(2)都是泵浦光与入射探测光共线时的情况。实验中的四波混频装置(包括自泵浦)一般是不共线的, 因此, 为了更确切地描写 PCM 在 PCR 中的行为, 需要对(1)、(2)作适当修正。

收稿日期: 1987年5月7日。

二、非自泵浦四波混频 PCM 的变换矩阵

在四波混频装置中(图 1),若泵浦光与探测光夹角 θ (设它们均在 $x-z$ 平面内),则从探测光方向观察,泵浦光的横向分布为一椭圆。若以 σ 表示泵浦光在非线性介质内的横向尺寸,则椭圆的长轴为 σ ,位于 y 轴;短轴为 $\sigma \cos \theta$,位于 x 轴。因此,PCM 在 x 、 y 方向的反射率可以分别表示为

$$\begin{aligned} R_x &= R(0) e^{-x^2/\sigma^2 \cos^2 \theta} \\ R_y &= R(0) e^{-y^2/\sigma^2} \end{aligned} \quad (3)$$

其中 $R(0)$ 表示椭圆中心点的反射率。根据(3)式及 PCM 的波前反转特性,可以定义 PCM 对高斯光束在 x 和 y 方向的等效变换矩阵分别为

$$m_x = \begin{pmatrix} 1 & 0 \\ -\frac{2}{\rho_i} - \frac{i\lambda}{\pi\sigma^2 \cos^2 \theta} & 1 \end{pmatrix} \quad (4a)$$

$$m_y = \begin{pmatrix} 1 & 0 \\ -\frac{2}{\rho_i} - \frac{i\lambda}{\pi\sigma^2} & 1 \end{pmatrix} \quad (4b)$$

即 PCM 在 x 、 y 方向的变换性质是不同的。当 $\theta \rightarrow 0$ 时,(4a)便退化成(1)式。

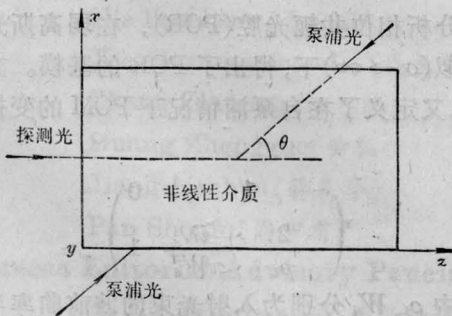
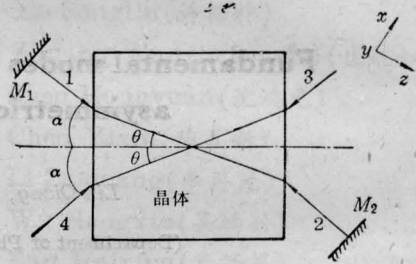


图 1 四波混频示意图

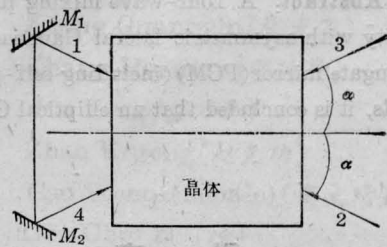
由于泵浦光与探测光的非共线,相位共轭器的反射回波是不完善的,因而其补偿畸变的能力也是不完善的。只有在均匀平面波泵浦条件下,相位共轭波才能完全补偿畸变^[4]。

三、自泵浦四波混频的变换矩阵

所谓自泵浦,即泵浦光由探测光本身提供,其机制是利用某些晶体(比如 BaTiO_3)的光致折射效应,使在晶体中传输的光束自动散焦,从而使入射光的一部分转为泵浦光。这种自动散焦具有非对称性,从而使散焦后的光束偏离正常的高斯光束。但只要入射角不太大(自泵浦四波混频中一般为十几度),这种偏离是很小的^[5]。为了处理上的方便,我们仍把散焦以后的光束视为高斯光束,并且认为其光斑尺寸不变。



(a)



(b)

图 2 晶体中的自泵浦四波混频,取坐标 z 沿光束方向, x 在入射面内

到目前为止,自泵浦相位共轭装置大致可分为两大类,一类需要外部反射镜(如图 2 所示,参考[6]);另一类不需要外部反射镜,而是利用晶体内部的全反射来得到泵浦光(如图 3,参考[7])。

在图 2(a)中,4 是探测光,1、2 是两束振荡于反射镜 M_1 、 M_2 之间的泵浦光(由探测光本身产生),3 是四波混频所产生的相位共轭回波。图 2(b)中 2 是探测光,4 由 2 通过晶

体后经 M_1 、 M_2 反射得到, 作为一束泵浦光, 另一束泵浦光 3 和相位共轭波 1 则由非线性相互作用产生。由于泵浦光 4 是探测光直接产生的, 认为其光斑尺寸不变是合理的。考虑到晶体表面的折射, PCM 在 x 方向的等效变换矩阵可推得:

$$m_x = \begin{pmatrix} \frac{\cos \alpha}{\cos \theta} & 0 \\ 0 & \frac{n_2 \cos \theta}{n_1 \cos \alpha} \end{pmatrix} \times \begin{pmatrix} 1 & 0 \\ -\frac{2}{\rho_i} - \frac{i\lambda}{\pi W_i^2 \cos^2 2\theta} & 1 \end{pmatrix} \times \begin{pmatrix} \frac{\cos \theta}{\cos \alpha} & 0 \\ 0 & \frac{n_1 \cos \alpha}{n_2 \cos \theta} \end{pmatrix} = \begin{pmatrix} 1 & 0 \\ \frac{n_2 \cos^2 \theta}{n_1 \cos^2 \alpha} \left(-\frac{2}{\rho_i} - \frac{i\lambda}{\pi W_i^2 \cos^2 2\theta} \right) & 1 \end{pmatrix} \quad (5a)$$

其中 α 、 θ 满足正弦定律 $n_1 \sin \alpha = n_2 \sin \theta$, n_1 、 n_2 分别为外界及晶体的折射率。矩阵

$$\begin{pmatrix} \frac{\cos \theta}{\cos \alpha} & 0 \\ 0 & \frac{n_1 \cos \alpha}{n_2 \cos \theta} \end{pmatrix}$$

是高斯光束以入射角 α 入射到一斜面上的等效变换矩阵^[8]。从(5a)可以看出, 晶体表面的折射使得 PCM 不能精确地实现波前反转。在高精度实验中(比如图像重现)需要在晶体外加匹配液使 $n_1 = n_2$, 从而消除折射影响。

自泵浦 PCM 在 y 方向的变换矩阵仍为

$$m_y = \begin{pmatrix} 1 & 0 \\ -\frac{2}{\rho_i} - \frac{i\lambda}{\pi W_i^2} & 1 \end{pmatrix} \quad (5b)$$

其中 ρ_i 、 W_i 分别为入射光束的波前曲率半径及光斑尺寸。

对第二类自泵浦 PCM(图 3), 在晶体内部探测光与泵浦光之间的夹角为 $\theta_2 - \theta_1$, 对一给定的入射角 α , 实验中发现 $\theta_2 - \theta_1 = 5 \sim$

10° 时得到最佳耦合^[7], 当 α 变化时, 晶体内部偏折角能自动调整使达到最佳耦合。类似于(5a)、(5b), 我们定义其变换矩阵为

$$m_x = \begin{pmatrix} 1 & 0 \\ \frac{n_2 \cos^2 \theta_1}{n_1 \cos^2 \alpha} \left[-\frac{2}{\rho_i} - \frac{i\lambda}{\pi W_i^2 \cos^2 (\theta_2 - \theta_1)} \right] & 1 \end{pmatrix} \quad (6a)$$

$$m_y = \begin{pmatrix} 1 & 0 \\ -\frac{2}{\rho_i} - \frac{i\lambda}{\pi W_i^2} & 1 \end{pmatrix} \quad (6b)$$

在 $n_1 = n_2$, $\theta_2 - \theta_1$ 很小时, (6) 式便退化为(2)式。

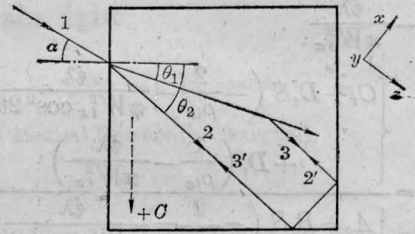


图 3 依靠晶体内全反射的自泵浦四波混频 c 为晶体光轴, 1 为入射光, 2 与 3'、3 与 2' 分别是一对泵浦光

四、非共线自泵浦 PCR 的基模

对一端由 PCM、另一端由球面反射镜所组成的谐振腔(图 4), 把参考面选在 PCM 前, x 方向一周往返矩阵为

$$\begin{pmatrix} A & B \\ C & D \end{pmatrix}_x = \begin{pmatrix} a & b \\ c & d \end{pmatrix} \begin{pmatrix} 1 & 0 \\ -\frac{2}{R} & 1 \end{pmatrix} \times \begin{pmatrix} d & b \\ c & a \end{pmatrix} \times \begin{pmatrix} 1 & 0 \\ S \left(-\frac{2}{\rho_i} - \frac{i\lambda}{\pi W_i^2 \cos^2 2\theta} \right) & 1 \end{pmatrix} = \begin{pmatrix} A_r & B_r \\ C_r & D_r \end{pmatrix} \times \begin{pmatrix} 1 & 0 \\ S \left(-\frac{2}{\rho_i} - \frac{i\lambda}{\pi W_i^2 \cos^2 2\theta} \right) & 1 \end{pmatrix} \quad (9)$$

其中已引用(5a)式,

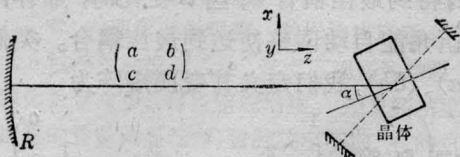


图4 自泵浦相位共轭光腔示意图

$$S = \frac{n_2}{n_1} \frac{\cos^2 \theta}{\cos^2 \alpha}$$

R 是真镜 (RM) 的曲率半径, $abcd$ 是腔内自 RM 到 PCM (不包括 PCM) 的矩阵元。

将(7)代入 $ABCD$ 定律, 并令其自洽, 有

$$\frac{1}{\rho_{ia}} - \frac{i\lambda}{\pi W_{ia}^2} = \left\{ \begin{array}{l} C_r + D_r S \left(-\frac{2}{\rho_{ia}} - \frac{i\lambda}{\pi W_{ia}^2 \cos^2 2\theta} \right) \\ + D_r \left(\frac{1}{\rho_{ia}} - \frac{i\lambda}{\pi W_{ia}^2} \right) \end{array} \right\} = \left\{ \begin{array}{l} A_r + B_r S \left(-\frac{2}{\rho_{ia}} - \frac{i\lambda}{\pi W_{ia}^2 \cos^2 2\theta} \right) \\ + B_r \left(\frac{1}{\rho_{ia}} - \frac{i\lambda}{\pi W_{ia}^2} \right) \end{array} \right\} \quad (8)$$

令其虚部相等, 得

$$\left[A_r - \frac{(2S-1)B_r}{\rho_{ia}} \right]^2 + \left(\frac{S}{\cos^2 2\theta} + 1 \right)^2 \times \frac{\lambda^2 B_r^2}{\sigma^2 W_{ia}^4} = \frac{S}{\cos^2 2\theta} + 1 \quad (9)$$

为了得到稳定解, 取 W_{ia}^2 的极小值, 则

$$\rho_{ia} = (2S-1) \frac{B_r}{A_r} = (2S-1) \frac{2bG}{2dG-1} \quad (10)$$

$$W_{ia}^2 = \frac{\lambda}{\sigma} |B_r| \sqrt{\frac{S}{\cos^2 2\theta} + 1} \quad (11)$$

以 $\frac{S}{\cos^2 2\theta} = \frac{1-\beta^2}{\beta^2}$ 代入(11)式, 便得

$$W_{ia}^2 = \frac{\lambda}{\sigma} |B_r| / \beta$$

这类似于受激散射 PCR 的结果^[9]。利用 (5a), 可得 PCM 上反射的光束参量为

$$\rho_{ra} = -\frac{B_r}{A_r} \quad (12)$$

$$W_{ra}^2 = \frac{\lambda |B_r|}{\sigma} \frac{1}{\sqrt{\frac{S}{\cos^2 2\theta} + 1}} \quad (13)$$

若将参考面选在 RM 上, 通过类似的推导可得 RM 上的模。或通过 $ABCD$ 定律直接求得

$$\rho_{RM,ia} = \frac{b(S+2\cos^2 2\theta)}{a(S+2\cos^2 2\theta) - 2G\cos^2 2\theta} \quad (14)$$

$$\rho_{RM,ra} = \frac{b(S+2\cos^2 2\theta)}{2G(S+\cos^2 2\theta) - a(S+2\cos^2 2\theta)} \quad (15)$$

$$W_{RM,ia}^2 = W_{RM,ra}^2 = \frac{\lambda b}{2\pi |G|} \frac{S+2\cos^2 2\theta}{\cos 2\theta \sqrt{S+\cos^2 2\theta}} \quad (16)$$

其中 $G = a - \frac{b}{R}$ 。

在(10)~(16)式中令 $S=1, \cos 2\theta=1$, 便得 y 方向结果, 它与共线自泵浦的一致^[9]。

五、结 论

1. 显然, 在 $S \neq 1, \cos 2\theta \neq 1$ 时, PCR 在 x, y 方向的性质是不一样的。若从 RM 端输出, 则基模为椭圆高斯光束, 它在 x, y 两方向上的曲率半径和光斑尺寸都不相同。

2. 定义 $G' = d - b/\rho_i$, 由(10)得 x 方向

$$(GG')_x = \frac{(2S-2)dG + \frac{1}{2}}{2S-1} \quad (17)$$

令 $S=1$, 得 y 方向

$$(GG')_y = \frac{1}{2} \quad (18)$$

因此 y 方向是绝对约束的, 而 x 方向则不然。这正是非共线自泵浦的影响。

参 考 文 献

- 1 Pierre A Belanger et al. *Appl. Opt.*, 1980; **19**: 602
- 2 王绍民 et al. *光学学报*, 1983; **3**(1): 41
- 3 王绍民 et al. *杭州大学学报*, 1985; **12**(2): 191
- 4 David M Pepper, Amnon Yariv. *Opt. Lett.*, 1980; **5**(1): 59
- 5 Jack Feinberg, *J. Opt. Soc. Am.*, 1982; **72**: 46
- 6 Mark Cronin-Golomb et al. *Appl. Phys. Lett.*, 1982; **41**(8): 689
- 7 Jack Feinberg. *Opt. Lett.*, 1982; **7**(10): 486
- 8 陆璇辉 et al. (待发表)
- 9 Wang Shaomin, Weber H. *Opt. Act.*, 1984; **31**: 971~976.